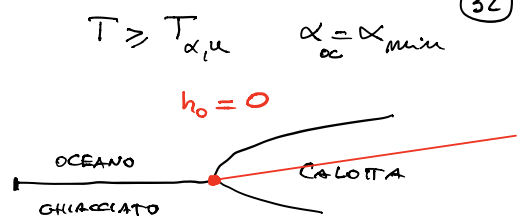
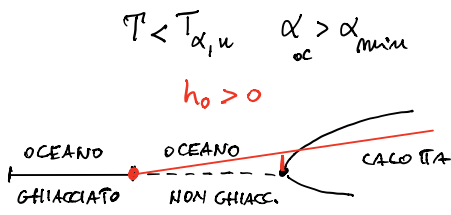


OSSERVAZIONE: L'albedo oceanico e quello continentale hanno effetti profondamente differenti: α_{ocean} è dominante per due motivi. La parte continentale pesa solo un terzo ($\gamma \approx 1/3$). Inoltre il tempo caratteristico di variazione nei due casi è molto diverso (stagionale per α_{ocean} , secolare per α_{land}). Ciò comporta che la variazione media annuale dell'oceano ghiacciato ha un'influenza immediata sul valore delle temperature globali T . Questo suggerisce di usare per $\alpha_{\text{ocean}}(T)$ una funzione come quella di Sellers, come appunto abbiamo fatto.

Torniamo al problema di determinare β in funzione degli altri parametri del modello.

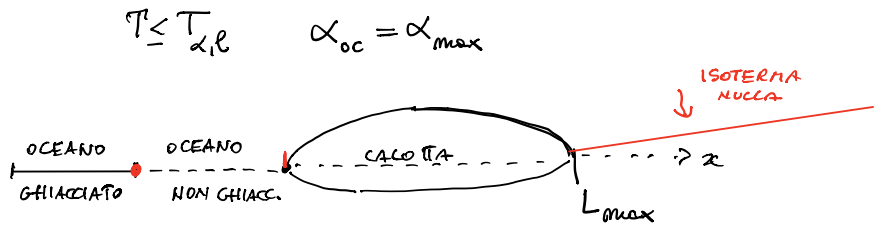
h_s dipende da tre parametri: β , T_{∞} , L ed L è in realtà funzione di T . Fissiamo T_{∞} (che ha il significato che sappiamo) coincidente con $T_{\alpha, \mu}$, valore di T a cui $\alpha = \alpha_{\text{ocean}}^{\text{min}}$. Ciò corrisponde ad una situazione in cui l'oceano libero da ghiacci è alla sua minima estensione: nel nostro schema questo corrisponde alla figura seguente



Fissato T_{oo} , h_s dipende solo da β ed L (e da T tramite h_0 ed L). Supponiamo che alla temperatura $T_{\alpha, l}$ (quando $\alpha_{oc} = \alpha_{max}$), L si trovi al suo massimo valore L_{max} . In tal caso $\alpha_{land} = \alpha_{land, max} = \alpha_0 + \alpha_1 L_{max}$. Allora possiamo scrivere

$$h_s(x, L_{max}) = \beta (T_{\alpha, l} - T_{\alpha, u}) + s(x + L_{max})$$

e imponiamo infine che $h_s(L_{max}, L_{max}) = 0$



Infine per semplicità assumiamo che $\alpha_{land, max} = \alpha_{oc, max}$
 Allora

$$L_{max} = \frac{\alpha_{oc, max} - \alpha_0}{\alpha_1} \quad e \quad 0 = \beta (T_{\alpha, l} - T_{\alpha, u}) + s(L_{max} + L_{max})$$

forniscono β esplicitamente in funzione degli altri parametri:

$$\beta = \frac{2s (\alpha_{\text{cond}, \text{max}} - \alpha_0)}{\alpha_i (T_{\infty} - T_{\alpha, e})}$$

$$= \frac{2s (\alpha_{\text{oc}, \text{max}} - \alpha_0)}{\alpha_i (T_{\alpha, u} - T_{\alpha, l})}$$

Poniamo finalmente scrivere esplicitamente $L_T = L_T(L)$:
 $L_T(L)$ è la massima estensione in direzione meridionale
della zona di accumulo. Quindi, per definizione, L_T è
determinato come quel valore di $x > 0$ per il quale $h(x)$
uguaglia $h_s(x, T)$: dunque

$$\lambda^{1/2} (L - x)^{1/2} = h_s(x, T) = h_0(T) + s(x + L)$$

dove $L = L(T)$. Dobbiamo allora risolvere l'eq.

$$\lambda^{1/2} (L - L_T)^{1/2} = h_0(T) + s(L_T + L)$$

nella forma $L_T = L_T(L)$. Quando (34)
 si ha

$$\lambda(L - L_T) = s^2(L_T + L)^2 + 2s h_0(L_T + L) + h_0^2$$

dove h_0 è funzione nota di T . È significativa solo L_T^+ :

$$L_T(L; T) = \frac{1}{2s^2} \left\{ \left(8Ls^2\lambda + \lambda^2 + 4sh_0(T)\lambda \right)^{1/2} - \left(2Ls^2 + \lambda + 2sh_0(T) \right) \right\}$$

Prima di "accoppiare" l'eq. differenziale di $L(t)$ con quella per $T(t)$ del modello originario è analizzare la relazione fra a e a' , velocità di accumulazione-oblazione, in funzione di T .

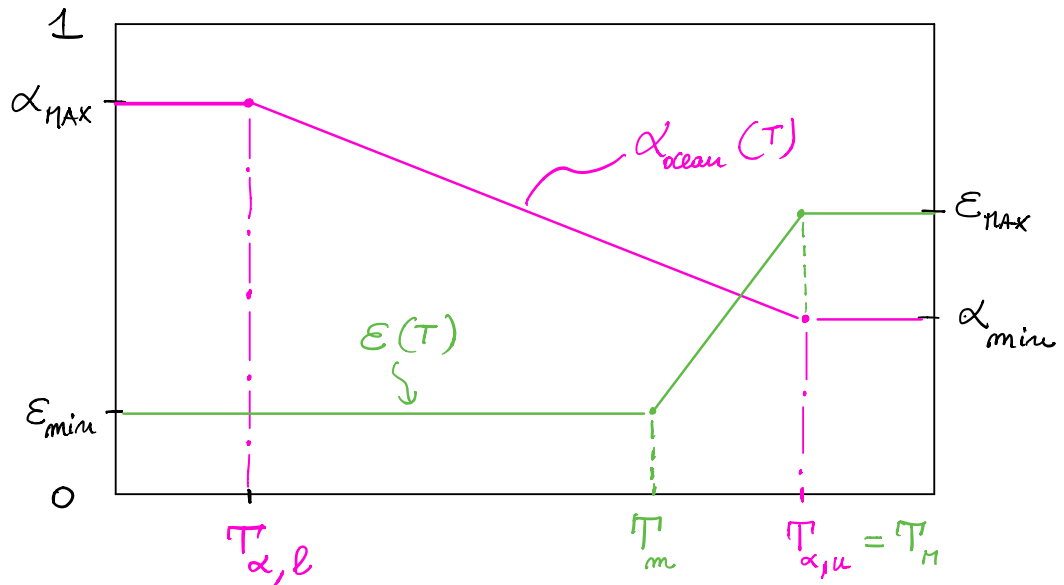
Si suppone che le precipitazioni atmosferiche aumentino con la temperatura (perché aumenta l'evaporazione oceanica e quindi l'accumulo di umidità in atmosfera). Quindi dovrebbe essere $\varepsilon(T) = \frac{a(T)}{a'(T)}$ crescente con T . Tuttavia questo è un punto delicato del modello. Si ha un feedback positivo di T su ε : se da un lato l'aumento di T produce un ciclo idrologico più attivo (maggiori precipitazioni), dall'altro favorisce lo scioglimento del ghiaccio, cioè l'aumento di $a'(T)$.

La reale dipendenza di ϵ da T appare molto complessa da modellare. D'altra parte per alti valori di T sembra essere funzione decrescente di T .

Una scelta plausibile ^{e semplice} può essere $\epsilon(T) \sim T$ intesa come approssimazione locale di $\epsilon(T)$ nel piccolo range di valori di T per i quali si applica il modello. Chiameremo questo meccanismo

"temperature-precipitation feedback"

Mettendo in uno stesso grafico sia $\alpha_{ocean}(T)$ che $\epsilon(T)$ otteniamo



La legge $\epsilon(T) \sim T$ nel range (T_m, T_H) riflette la semplice constatazione che le precipitazioni nevose più intense si registrano negli inverni più miti, a causa dell'incremento di evaporazione degli oceani alle medie latitudini: l'aria carica di umidità

si sposta da sopra gli oceani verso le terre continentali (36)
 e precipita in forma nevosa nelle zone glaciali determinando
 un accumulo maggiore della perdita!

Analizziamo ora le soluzioni stazionarie dell'equazione

$$\dot{L} = \frac{\alpha'}{2\lambda^{1/2} L^{1/2}} [(1+\epsilon)L_T - L]$$

che sono date da $L(T) = (1+\epsilon(T))L_T(L, T)$.
 Sviluppando i conti, dopo un po' di algebra, si trova

$$L^{\pm}(T) = \frac{1}{2} \left\{ 1 - \frac{h_0(T)}{2h^*(T)} \pm \sqrt{1 - \frac{h_0(T)}{h^*(T)}} \right\} L^*(T)$$

dove

$$L^*(T) = \frac{\lambda \epsilon(T) [1 + \epsilon(T)]}{s^2 [2 + \epsilon(T)]^2}, \quad h^*(T) = \frac{\lambda \epsilon(T)}{4s [2 + \epsilon(T)]}$$

e $h_0(T) = \beta(T - T_{\alpha, \mu})$. Per avere soluzioni reali
 deve essere

$$\beta(T - T_{\infty}) \leq h^*(T) \Leftrightarrow T \leq T_{\infty} + \frac{h^*(T)}{\beta} \leq T_{\infty} + \frac{h^*(T_H)}{\beta}$$

Posto $\epsilon_{\max} = 0.5$ e $\epsilon_{\min} = 0.1$, $s \approx 10^{-3}$, $\alpha_{\text{land, max}} \approx 0.8$

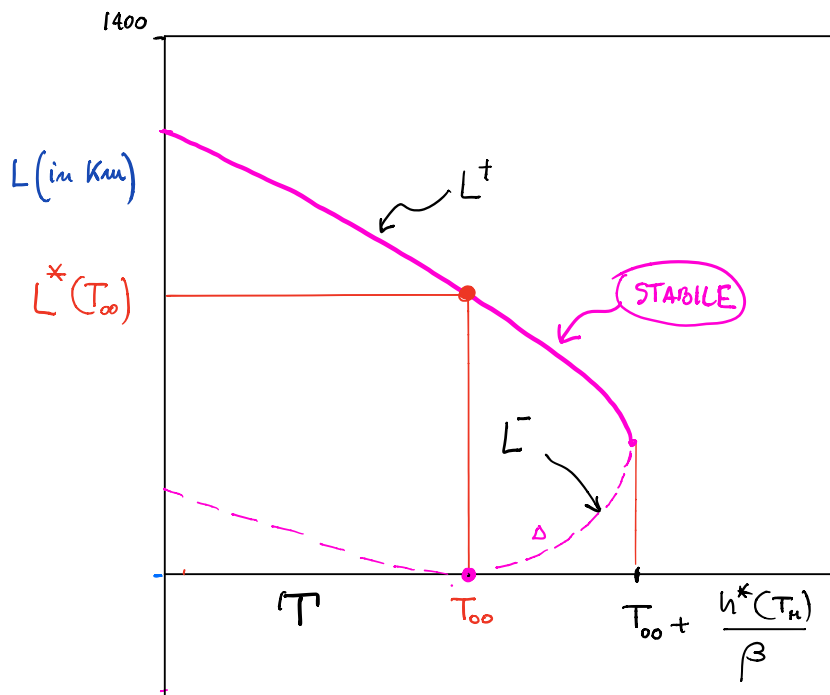
$\alpha_{\max} = 0.85$, $\alpha_{\min} = 0.25$, $T_m = 273$, $T_H = 283 = T_{\alpha, \mu} (= T_{\infty})$,

$\alpha_0 = 0.25$, $\alpha_1 = 4.1 \times 10^{-7}$, $\lambda \approx 1$ (vedi dopo)

$$\tau + \frac{h^*(\tau_H)}{\beta} \cong 289$$

(37)

Quindi esistono soluzioni reali solo se $\tau \leq \bar{\tau} = 289$ (K)
 Il grafico di $L^\pm(\tau)$ (luogo degli equilibri della dinamica della colotta glaciale) è della forma seguente



Notiamo subito che se $\tau = T_{oo}$ allora $h_o(\tau) \equiv 0$ e

$L^\pm(T_{oo}) = \frac{1}{2} (1 \pm 1) L^*(T_{oo})$ che da luogo all'equilibrio

$L^-(T_{oo}) = 0$ e $L^+(T_{oo}) = L^*(T_{oo})$. Se $\tau < T_{oo}$, $h_o(\tau)$

è negativo. Per $\tau < T_{oo}$, $h_o(\tau) < 0$, $L^\pm(\tau)$ sono

entrambe positive. Per $\tau \in (T_{oo}, T_{oo} + \frac{h^*(\tau_H)}{\beta}]$ ci sono

ancora due soluzioni positive mentre non ci sono soluzioni

per $T > T_0 + \frac{h^*(T_H)}{\beta}$,

L'analisi di stabilità si può fare linearizzando l'eq.

$$\dot{L} = \frac{\alpha'}{2\lambda^{1/2} L^{1/2}} [(1+\epsilon)L_T - L] = \mathcal{F}(L, L_T(L))$$

ottimo ad un valore di equilibrio. Detto $L_e(T)$ il generico equilibrio, posto

$$L(t) = L_e(T) + \omega(t)$$

(con $\omega(t)$ perturbazione e T parametro di biforcazione) si ha

$$\dot{\omega} = \left. \frac{\partial \mathcal{F}}{\partial L} \right|_{L=L_e(T)} \omega$$

per cui occorre studiare il segno di $\left. \frac{\partial \mathcal{F}}{\partial L} \right|_{L=L_e(T)}$

come funzione di T . Dopo (molto) algebra si vede che il ramo L^- è sempre instabile mentre il ramo L^+ è sempre stabile.

Conviene ora riscrivere l'eq. differenziale per L in forma adimensionale scegliendo una scala conveniente per L ed L_T . Una scelta plausibile è data da $L^*(T_{MAX})$. Per $s = \text{costante}$, $L^*(T)$ è funzione monotona

crescente di $\varepsilon > 0$ (a sua volta crescente rispetto a T). (39)

Poniamo allora

$$L_H^* = L^*(T_{max}) = \frac{\lambda \varepsilon_{max} (1 + \varepsilon_{max})}{s^2 (2 + \varepsilon_{max})^2}$$

e definiamo le lunghezze adimensionali

$$l = \frac{L}{L_H^*}, \quad l_T = \frac{L_T}{L_H^*}$$

Allora l'eq di evoluzione della calotta glaciale si scrive

$$c_L \dot{l} = l^{-1/2} \left[(1 + \varepsilon(T)) l_T(l) - l \right] \equiv f(l; T)$$

dove $c_L = \frac{3}{a'} \sqrt{\lambda L_H^*}$ è proporzionale al "tempo di ritorno" di l al valore di equilibrio. Infatti

$$\underbrace{f(l; T)}_{\approx f(l_{eq}; T)} = f(l_{eq}; T) + \left. \frac{\partial f}{\partial l} \right|_{l=l_{eq}} (l - l_{eq}), \quad \text{l'eq. per } \dot{l}$$

è lineare in

$$c_L \overbrace{(l - l_{eq})}^{\dot{l}} \approx \left. \frac{\partial f}{\partial l} \right|_{l=l_{eq}} (l - l_{eq})$$

con soluzione

$$l(t) - l_{eq} \approx \exp \left[- \left. \frac{\partial f}{\partial l} \right|_{l=l_{eq}} \frac{t}{c_L} \right]$$

Utilizzando i valori caratteristici dei parametri

$$a' = O(3 \text{ m/anno}), \quad L_H^* = O(10^7 \text{ m})$$

$$\tau_0 \approx 10^4 \text{ Pa}, \quad \lambda = \frac{2}{3} \sqrt{\frac{2\tau_0}{c_i g}} \approx \frac{2}{3} \sqrt{\frac{2 \cdot 10^5}{9 \cdot 10^2 \cdot 10}} \approx 1 \quad (40)$$

si ha

$$c_L = \frac{3}{a'} (L_n^*)^{1/2} \approx 5.6 \cdot 10^3 \text{ anni}$$

un valore più che significativo!

Siamo ora finalmente in grado di scrivere l'intero modello. Riprendiamo l'eq. per T che ora scriviamo

$$c_T \dot{T} = Q \left\{ 1 - [\Gamma(\alpha_0 + \alpha_1 L_n^*)] + (1-\gamma) \alpha_{\text{ocean}}(T) \right\} - \sigma g(T) T^4$$

ora l'eq. contiene, attraverso il termine $l(T)$, la dipendenza di α dall'estensione della colotta glaciale. Adimensionalizziamo l'eq. ponendo

$$\theta = T/T_s$$

dove T_s è un valore prossimo al clima attuale.

Uniamo poi una scala di tempo identica t_{ref} nelle due eq. e definiamo $t_{\text{ref}} = c_T T_s$ e

$$\mu = \frac{t_{\text{ref}}}{c_L} = \frac{c_T T_s}{c_L}$$

Le due eq. del modello si possono allora scrivere

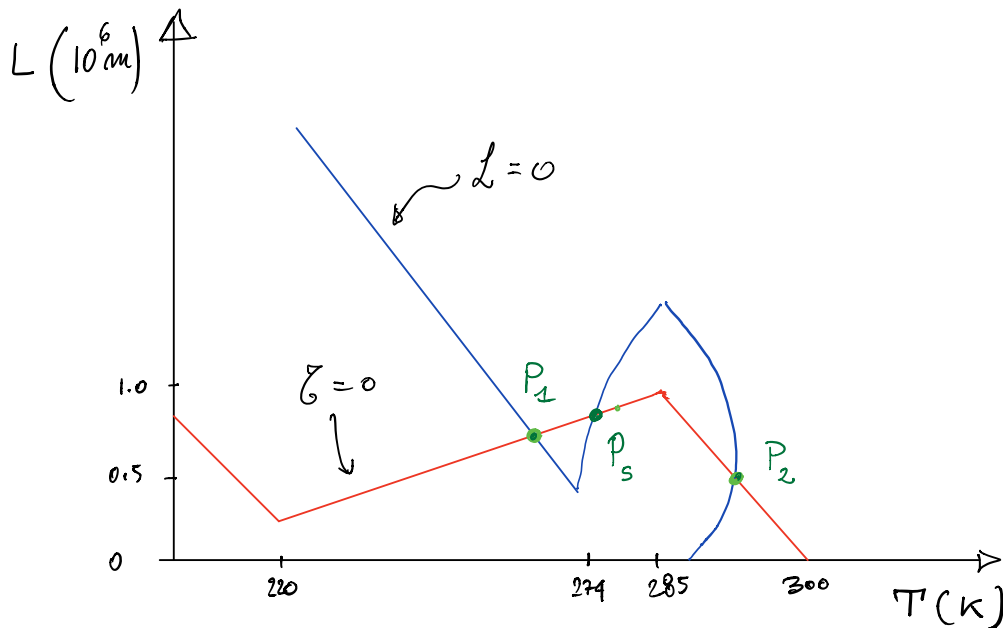
in forma adimensionale come segue

(41)

$$\begin{cases} \dot{\theta} = \zeta(\theta, l) \\ \dot{l} = \mu L(\theta, l) \end{cases}$$

Se Q è assunto costante, il sistema è autonomo, e possiamo visualizzare le orbite in \mathbb{R}^2 . Gli equilibri isolati sono determinati dalle soluzioni del sistema

$$\begin{cases} \zeta(\theta, l) = 0 \\ L(\theta, l) = 0 \end{cases}$$



$$P_1 \approx (267, 0.8), \quad P_s \approx (274, 0.9), \quad P_2 \approx (293, 0.6)$$

L'analisi lineare si fa attraverso la matrice

$$J = \begin{pmatrix} \partial_\theta \mathcal{L} & \partial_\ell \mathcal{L} \\ \partial_\theta \mathcal{L} & \partial_\ell \mathcal{L} \end{pmatrix}$$

L'analisi mostra che P_1 e P_2 sono punti di sella (instabili) indipendentemente dal valore di $\mu > 0$. Infatti se (x, y) rappresenta una perturbazione dell'equilibrio P_j ($j=1, 2$ opp s), posto

$$a_j = \partial_\theta \mathcal{L}(\theta_j, \ell_j), \quad b_j = \partial_\ell \mathcal{L}(\theta_j, \ell_j)$$

$$c_j = \partial_\theta \mathcal{L}(\theta_j, \ell_j), \quad d_j = \partial_\ell \mathcal{L}(\theta_j, \ell_j)$$

il sistema differenziale per la perturbazione è

$$\begin{cases} \dot{x} = a_j x + b_j y \\ \frac{1}{\mu} \dot{y} = c_j x + d_j y \end{cases} \quad (\mu \neq 1)$$

e gli autovalori sono

$$\lambda_{\pm}^{(j)} = \frac{1}{2} \left(a_j + \mu d_j \pm \left[(a_j + \mu d_j)^2 - 4\mu J_j \right]^{1/2} \right)$$

dove $J_j = J(P_j) = a_j d_j - b_j c_j$. Si verifica che

J_1 è negativo e quindi $\lambda_{\pm}^{(1)}$ sono entrambi reali e di segno opposto. Lo stesso si verifica per $j=2$

Per quanto riguarda P_5 la discussione è più complicata.

Si verifica che

$$a_5 > 0, \quad T_5 > 0, \quad d_5 < 0$$

Il parametro μ è positivo per definizione; se μ cresce

λ_+ e λ_- rimangono reali, positivi e distinti fino

a che $\mu \rightarrow \mu_0 \cong 0.902$ valore per il quale coalescono

e per $\mu > \mu_0$ diventano complessi coniugati con parte reale

positiva. Per $\mu = \mu_1 = -\frac{a_5}{d_5} \cong 1.758$ gli autovalori attraversano

l'asse immaginario da destra verso sinistra. Allora P_5

si comporta come un fuoco in un intorno di μ_1 (stabile

se $\mu > \mu_1$ e instabile se $\mu < \mu_1$). Continuando ad

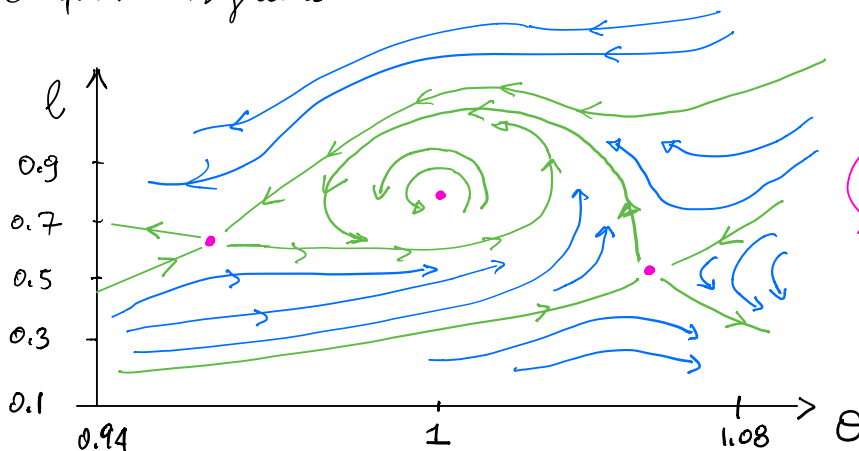
augmentare μ , λ_+ e λ_- sono nel semipiano sinistro

e coalescono nell'asse negativo per $\mu \cong 34.6 = \mu_2$.

Per $\mu > \mu_2$ gli autovalori sono reali, distinti e negativi.

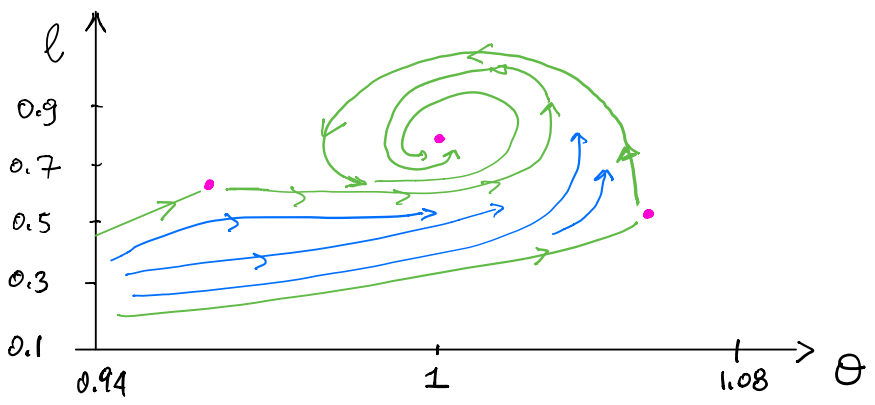
Tracciando le orbite in un intorno dei tre punti si

ha il "quattro" seguente



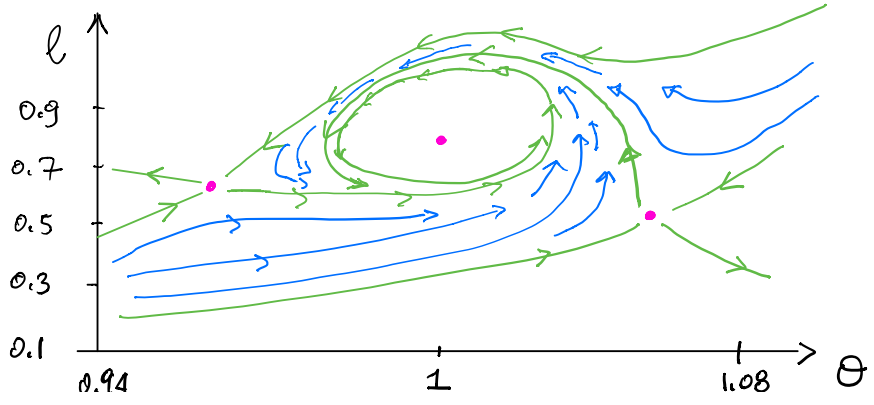
$\mu = 1.76$

Nel grafico le curve in verde sono le separatrici dei punti di sella P_1 e P_2 . Il grafico corrisponde a μ in un intorno di $\mu_1 \approx 1.76$. Che succede per $\mu \in (\mu_1 - \delta, \mu_1 + \delta)$? Per $\mu \in (\mu_1, \mu_1 + \delta)$, P_5 è un fuoco stabile



$$\mu_1 < \mu < \mu_1 + \delta$$

Le orbite (in blu) che si trovano fra le tre separatrici (in verde) devono tendere in un tempo infinito a P_5 girando in senso antiorario. Se invece $\mu \in (\mu_1 - \delta, \mu_1)$ P_5 è un fuoco instabile, le orbite fra le separatrici si allontanano da P_5 mantenendo il verso antiorario



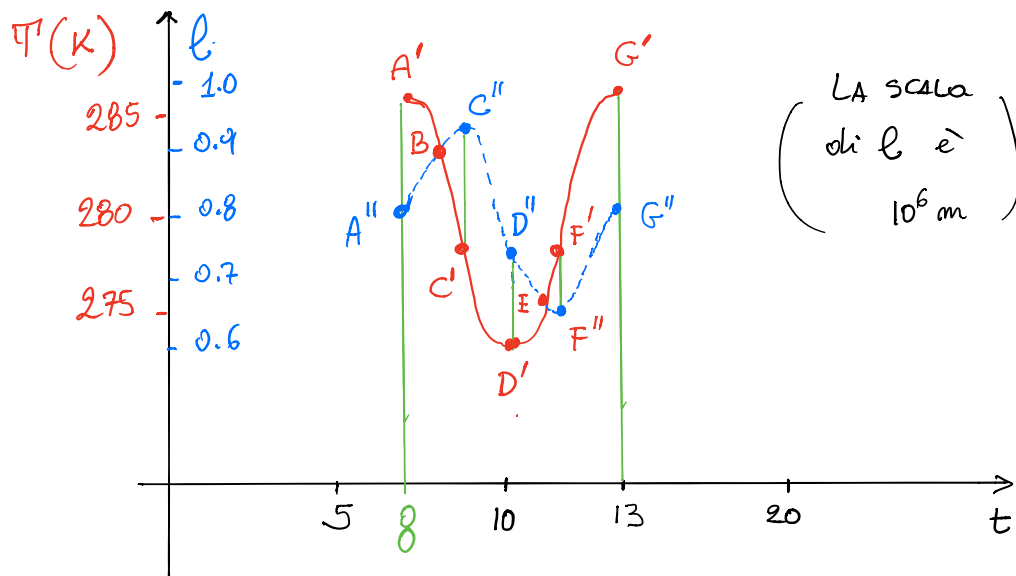
In questo caso le orbite fra le repulsive non possono tendere a P_5 ma nemmeno a P_1 o P_2 ; non potendo intersecarsi e dovendo svilupparsi in un tempo infinito si deve necessariamente venire a formare un CICLO LIMITE STABILE intorno a P_3 .

Una volta scoperta l'esistenza del ciclo limite stabile si possono intraprendere i seguenti ulteriori passi.

- ① Studiare le proprietà di tale soluzione periodica, in particolare il suo periodo
- ② Far variare Q considerando la sua dipendenza dai parametri orbitali
- ③ Stabilire se il ciclo limite è il risultato di una biforcazione di Hopf supercritica.
- ④ Confrontare le scale di oscillazione per la temperatura, come previste dal modello, con quelle reali volute col metodo del contenuto di CO_2 nei campioni di ghiaccio antartico

sono tutti sviluppi che possono essere fatti solo con procedure numeriche e non ce ne occupiamo.

Vole però almeno la pena di riportare i profili di $T'(t)$ (46) ed $l(t)$ in un unico diagramma con t espresso in ka (Kiloanni) su un periodo di oscillazione



- (a) Quando T è al suo massimo (A') il ciclo idrologico è attivo, la neve si accumula facendo aumentare l (A''). Poiché l cresce l'albedo aumenta e T comincia a decrescere.
- (b) Quando l raggiunge il suo massimo (C''), la temperatura continua a diminuire (C') mentre la colotta inizia gradualmente a ridursi. La temperatura raggiunge il suo minimo (D') mentre la colotta continua la sua contrazione fino al minimo F'' mentre T è ora in fase di crescita. Il ciclo idrologico si intensifica (più precipitazioni) e la colotta ricomincia a crescere.